

## تصميم عدسة كهروستاتيكية مغمورة تعمل تحت ظرف التكبير الصفرى

سمير خضر ياسين\*، د. راجحة رشيد محمود\*\*، انتهاء احمد محمد\*\*\*،  
ندى عبد الفتاح محمد\*\*\*

تاریخ قبول النشر 2007/5/28

## الخلاصة

تعتبر الطريقة العكسية من الطرق المهمة في تصميم العدسات الكهروستاتيكية والتي اعتمدت في هذا البحث باستخدام تقنية جديدة تعتمد على تحديد معادلة مناسبة للجهد المحوري على شكل متعددة حدود من الدرجة الثالثة ومن ثم حل معادلة الشعاع المحوري لأيجاد مسار الجسيمات والذي يحقق معادلة الجهد المقروضة. في هذا البحث تم تصميم عدسة كهروستاتيكية مغمورة تعمل بنمط التكبير الصفرى حيث تم الحصول على شكل الاقطاب للعدسه بعدstin باستخدام حلول معادلة لابلاس. وقد بينت نتائج البحث قيم قليلة لليغين الكروي واللوني والتي تعطي مؤشرًا على كفاءة تصميم العدسة.

للحصول على الخواص البصرية للعدسة تم حل معادلة الشعاع المحوري الآتية:

$$\frac{\partial^2 r}{\partial z^2} + \frac{U'(z)}{2U(z)} \frac{\partial r}{\partial z} + \frac{U''(z)}{4U(z)} r = 0 \quad (2)$$

ان المعادلة (2) تصف مسار الجسيمات المشحونة في المجال الكهروستاتيكي المتماثل دورانيا وهي معادلة تقاضالية متGANSAة خطية من الدرجة الثانية والتي يمكن استعمالها لكل أنواع الجسيمات المشحونة وذلك لأن الكمية  $Q/m$  لا تظهر في هذه المعادلة (4) وهذا يعني ان الجسيمات ذات الشحنة المختلفة تفتر في نفس النقطة ولكنها تصل في أوقات مختلفة (5). كذلك تمتاز المعادلة (2) بأنها متGANSAة بالنسبة للجهد ( $U$ ) لذلك فإن زيادة الجهد او نقصانه في كل نقاط المجال سوف لن يغير من المسار وتكون هذه المعادلة متGANSAة بالنسبة لـ  $r, z$  ، وهذا يعني ان آية زيادة في ابعاد النظام باكمله ينتج عنها زيادة مماثلة في ابعاد المسار ، أي ان شكل المعادلة لن يتغير (4).

يتم حساب الخواص البصرية للعدسة بعد حل معادلة الشعاع المحوري باستخدام طريقة رانج - كتا من الدرجة السادسة ومعرفة توزيع الجهد المحوري ومشتقته الأولى والثانية ولأيجاد قيمة معامل الربيع الكروي  $C_s$  والربيع اللوني  $C_C$  استخدام المعادلات الآتية (6):

$$Cs_o = \frac{U^{-1/2}}{16r_o^4} \int_z^0 \left[ \frac{5}{4} \left( \frac{U''(z)}{U(z)} \right)^2 + \frac{5}{24} \left( \frac{U'(z)}{U(z)} \right)^4 \right] r^4(z) + \frac{14}{3} \left( \frac{U'(z)}{U(z)} \right)^3 r'(z) r^3(z) - \frac{3}{2} \left( \frac{U'(z)}{U(z)} \right)^2 r'^2(z) r^2(z) \right] U^{1/2}(z) dz \quad (3)$$

$$C_C = \frac{U^{1/2}(z_o)}{r_o^2} \int_z^0 \left[ \frac{1}{2} \frac{U(z)}{U'(z)} r'(z) r(z) + \frac{U(z)}{4U'(z)} r^2 \right] U^{1/2}(z) dz \quad (4)$$

البصريات الالكترونية هي فرع من فروع الفيزياء الإلكترونية يتعامل مع حركة الجسيمات المشحونة (الكترونات و ايونات) في المجالين الكهربائي والمغناطيسي (1). يعد موضوع البصريات الالكترونية موضوعاً حديثاً نسبياً، حيث ان اول من اثبت امكانية تكوين صورة بوساطة الاكترونات هو H. Busch عام 1926 (2)، يمكن القول ان اي مجال كهروستاتيكي متماثل مورينا بمثل عدسة كهروستاتيكية حيث ان المجال الكهروستاتيكي ينتج بواسطة نظام من الاقطاب وان كل قطب جهدا ملائماً وبذلك تكون العدسة الكهروستاتيكية نظاماً ذا قطب متماثل محوريا.

تعتبر العدسات الكهروستاتيكية المغمورة والتي صمم احد انواعها في هذا البحث من انواع العدسات المهمة في تطبيقات البصريات الالكترونية والتي تمتاز بان لها جهدين ثابتين ومتافقين عن بعضهما وهي اما ان تكون عدسة معجلة او مبطنة (3).

**النظريّة:**  
تم استخدام متعددة الحدود من الدرجة الثالثة لتمثل للعدسة المغمورة على  $(z)$   $U$  توزيع الجهد المحوري والتي تتحقق الشرط الابتدائية  $Z$  المحور البصري الآتية :-

$$U(0) = A \quad U'(L/2) = S \quad U(L) = B \quad U'(0) = 0$$

بعد تعويض هذه الشرطوط في متعددة الحدود يمكن الحصول على دالة تعبر عن توزيع الجهد المحوري للعدسة المغمورة الآتية:-

$$U(z) = A + \left( \frac{-3(B-A) + 4SL}{L^2} \right) z^2 + \left( \frac{4(B-A) - 4SL}{L^3} \right) z^3 \dots \quad (1)$$

حيث ان  $(z)$  هو المحور البصري للعدسة ،  $L$  هو طول العدسة المؤثر ،  $A$  هو قيمة الجهد للقطب الاول للعدسة ،  $B$  هو قيمة الجهد للقطب الثاني للعدسة ،  $S$  هو قيمة المجال المحوري الاعظم ( $Emax$ ) عند نقطة الانقلاب (أي في منتصف طول العدسة).

\*قسم العلوم الأساسية كلية التربية - جامعة بغداد.

\*\* قسم الفيزياء - كلية التربية - جامعة بغداد.

\*\*\* قسم الفيزياء - كلية العلوم للبنات - جامعة بغداد

يلاحظ من الشكل ان قرص الزيء يقل كلما ازدادت قيمة S كما ان التفاوت بين  $dc$  و  $dt$  يدل على ان هو الغالب وهذا ناتج عن كون ( $\alpha$ ) المأخوذة صغيرة جدا وبالتالي فأن هذا يؤدي الى اهتمام قيم الزيء الكروي في قيمة  $dt$ . والجدول(3) يوضح ملخصا لأفضل النتائج لقيم  $ds$  و  $dc$  وقيمة  $S$ .

يمكن تعين شكل الأقطاب للعدسة المغمورة باستخدام المتسلسلة الآسيّة المعادلة (8) ان شكل الأقطاب للعدسة الكهروستاتيكية المغمورة والتي تعمل تحت ظروف التكبير الصوري ولأفضل الخواص البصرية عند  $S=25$  حيث تم رسماها ببعدين كما هو واضح من الشكل (7) يلاحظ من الشكل ارتفاع الأقطاب يساوي 0.63 والمسافة بين الأقطاب تساوي 0.38 من طول العدسة.

#### الأستنتاجات:

1. في العدسة المغمورة ان العامل المؤثر في تصميم العدسة المغمورة هو المجال الكهروستاتيكي الاعظم في نقطة الانقلاب  $Emax$ .
2. يقل الزيء للعدسة المغمورة بزيادة  $Emax$ .
3. ان افضل قيمة الزيء عندما  $Vi/Vo=25$  و  $S=3$  وقد وجد ان معامل الزيء الكروي  $Cs/fi = 0.49$  وان معامل الزيء اللوني  $Cc/fi = 0.71$  اما قرص الزيء الكروي واللوني  $\mu m$   $ds = 0.004 \mu m$  و  $dc = 0.096 \mu m$ .

#### المصادر:

- 1- Zhigarev A., (1975), "Electron optics and electronbeam devices", Mir Publisher: Moscow)
- 2- Septier A.,(1980),"Applied charged particles optics",Part A(Academic Press:New York).
- 3- Szilagyi M.,(1988), " Electron and ion optics", (Plenum press: New York)
- 4- Paszkowski B.,(1968), "Electron Optics", (Iliffe Books: London).
- 5- EL-Kareh A. B.and EL-Kareh J.C. J., (1970), "Electron Beam, Lenses and Optics", Vol.1(Academic Press:New York and London).
- 6- Kiss L.,(1988), "Computerized investigation of electrostatic lens potential distribution", 12th IMACS World Congress, ed. R. Vicheretsky, Paris.
- 7- Rempfer G.F.,Fyfield M.S.,and Griffith O.H.,(1998), "Lenses for electron microscopy and micro analysis: Shadowgraph method of determining focal properties and aberration coefficients", Microse. Microanal, 4, 34-49

حيث ان  $Cs_{00}$  يمثلان معاملات الزيء الكروي واللوني في جانب الجسم على التوالي. ويعبر عن معامل الزيء الكروي واللوني في جانب الصورة  $Cc_i$  و  $Cs_i$  باستخدام العلاقات السابقتين باستبدال  $r_o^4$  و  $r_i^4$  و  $r_o^{''4}$  و  $r_i^{''4}$  بـ  $(z_i) U^{1/2}$  و  $(z_o) U^{1/2}$  على الترتيب. يحسب نصف قطر قرص الزيء الكروي  $ds$  ونصف قطر قرص الزيء اللوني  $dc$  والكتي  $dt$  من المعادلات الآتية :

$$ds = Cs\alpha^3 \quad (5)$$

$$dc = Cca \frac{\Delta U}{U} \quad (6)$$

$$dt^2 = ds^2 + dc^2 \quad (7)$$

$\alpha$  هي نصف الزاوية المفهولة و  $\Delta U/U$  هي التغير النسبي لطاقة حزمة الألكترونات المنتشرة .(7)

بعد ان تم ايجاد توزيع الجهد المحوري ومشتقه الاولى والثانوية يمكن تعين شكل القطب للعدسة الكهروستاتيكية باستخدام الحل التسلسلي لمعادلة لا بلس الآتية(3)

$$U(r,z) = U(z) - U''(z) \frac{r^2}{4} \quad (8)$$

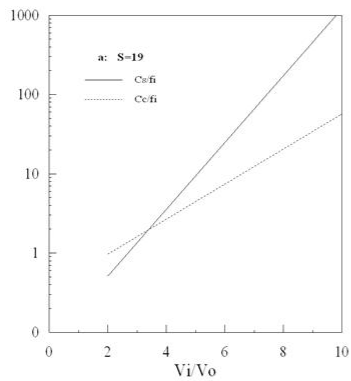
#### النتائج والمناقشة:

تم حساب توزيع الجهد الكهروستاتيكي المحوري  $U(z)$  ومشتقه الاولى  $E(z)$  لعدسة مغمورة استناداً الى المعادلة رقم (1) وبأخذ قيم (S) تساوي 19 و 25 ، الشكلين (1و2) يمثل توزيع الجهد المحوري حيث يلاحظ ان توزيع الجهد المحوري يملك نقطة انقلاب واحدة عندما يصل المجال المحوري لاعظم قيمة ( $Emax$ ) وهذا يعني ان العدسة تكون من قطبين مختلفي الجهد. ان المجال في جانبي الجسم والصورة يساوي صفر لذلك فإن العدسة هي عدسة مغمورة، كما يلاحظ من الشكلين (1و2) انه بزيادة قيمة (S) تزداد قيمة الجهد في القطب الثاني (B) أي تزداد نسبة الجهد في المجال  $Vi/Vo$  حيث ان  $Vi/Vo$  تمثل الجهد في جانب الصورة ، وان  $Vo$  تمثل الجهد في جانب الجسم.

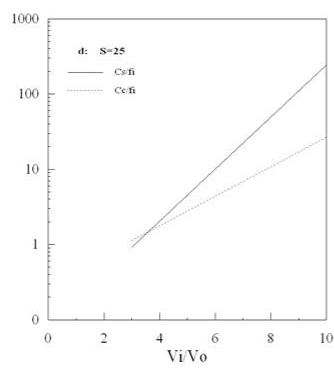
ان معامل الزيء الكروي واللوني  $Cs/fi$  و  $Cc/fi$  موضحة في الشكلين (3و4) كدالة لنسبة الجهد لقيمتين  $S$ . حيث ان  $Vi/Vo$  و  $Cs/fi$  تزداد  $Cc/fi$  بزيادة نسبة الجهد  $Vi/Vo$  وتقل بزيادة  $S$  كما هو واضح من الجدول (1) .

ان الجدول (2) يمثل مقارنة بسيطة بين الزيء اللوني والкроبي النسبي مع نسبة الجهد للعمل الحالي عندما  $S=25$  مع اعمال باحثين سابقين. الشكلين (5و6) يوضحان العلاقة بين قرص الزيء الكروي  $ds$  و اللوني  $dc$  والكتي  $dt$  ونسبة الجهد ( $Vi/Vo$ ) عندما  $\alpha=2mrad$  و الطاقة المنتشرة

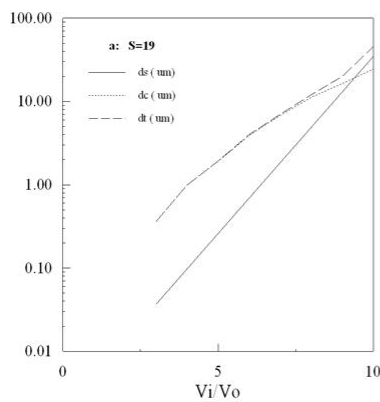
$$\frac{\Delta U}{U} = \frac{1}{30000} \quad (9)$$



شكل (3) يوضح تغير  $\frac{V_i}{V_o}$  مع نسبة الجيد لمدسة مغفورة  $S=19$  عندما  $Cc/fi \approx Cs/fi$



شكل (4) يوضح تغير  $\frac{V_i}{V_o}$  مع نسبة الجيد لمدسة مغفورة  $S=25$  عندما  $Cc/fi \approx Cs/fi$



شكل (5) يوضح العلاقة بين قرص الربع المكروبي ، اللامي ، التلبي ونسبة الجيد عندما  $S=19$

8- Harting E.and Read F.H.,(1976),“Electrostatic lenses”,(Elsevier:oxford & New York).

9- Ohiwa H.,Blackwell R.J.,and Siegel B.M.,(1981),“Design of an electrostatic ion optical system for microfabrication with 100 Å resolution”,J. Vac. Sci. Technol., 19, 1074-1076.

جدول رقم (1) يبين تغير نسبة  $Cc/fi$  و  $Cs/fi$  مع نسبة الجيد

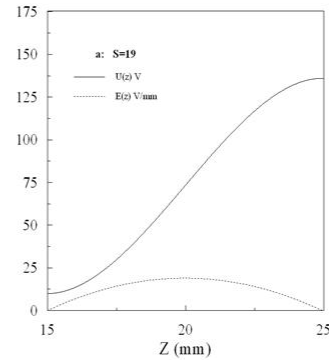
$V_i/V_o$	$S (V/mm)$	$Cs/fi$	$Cc/fi$
3	19	2.4	1.7
3	25	0.49	0.71

جدول (2) يبين مقارنة بين نتائج العمل الحالي والبحوث السابقة

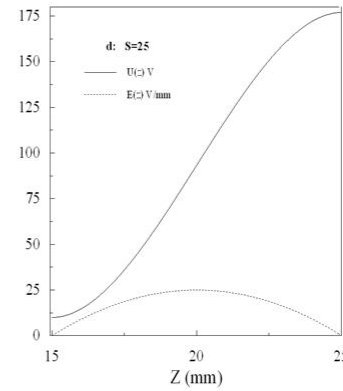
References	$V_i/V_o$	$Cs/fi$	$Cc/fi$
العمل الحالي	5	6.3	3.5
Munro , 1975	5	24	3.5
Harting & Read, 1976	5	19	1.4

جدول (3) نتائج قيم  $ds$  و  $dc$  (نطيرية)

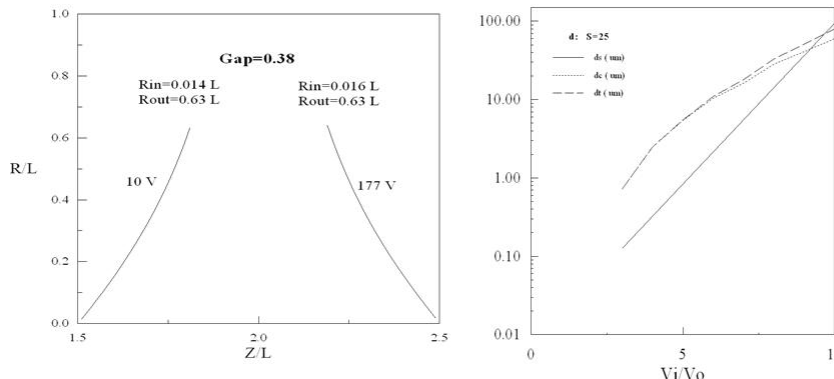
$V_i/V_o$	$S (V/mm)$	$ds (\mu m)$	$dc (\mu m)$
3	19	0.03	0.36
3	25	0.004	0.096



شكل (1) يوضح توزيع الجيد المحوري ومشتقته الأولى  $E(z)$  لمدسة  $S=19$  مغفورة عندما



شكل (2) يوضح توزيع الجيد المحوري ومشتقته الأولى  $E(z)$  لمدسة  $S=25$  مغفورة عندما



شكل (7) يبين شكل الأقطاب للعدسة الكهروستاتيكية المعمورة بأفضل الخواص البصرية



شكل (6) يوضح العلاقة بين فرق التردد الكروي ، اللوني ، الكلبي ونسبة الجهد عندما  $S=25$

## Design of Immersion Electrostatic Lens Operated under Zero Magnification Condition

*S. Kh. Yassin\*, R.R.Mamoud\*\*\*, I. A. Mohammed\*\*, N. A. Mohammed\*\*\**

\*Computer department –College of education for women–Baghdad University  
\*\* Physics department – College of education Ibn AL-Haithem – Baghdad University  
\*\*\*Physics department- College of Science for women-Baghdad University

### Abstract:

The inverse problem is important method in the design of electrostatic lenses which is used in this work, with new technique by suggesting an axial electrostatic potential distribution using polynomial functions of the third order. The paraxial-ray equation is solved to obtain the trajectory of particles that satisfy the suggested potential function. In this work design of immersion electrostatic lens operated under zero magnification condition.

The electrode shape of the electrostatic lens was determined from the solution of Laplace equation and plotted in two dimensions. The results showed low values of spherical and chromatic aberrations, which are considered as good criteria for good design.